

25

ИНСТИТУТ
ЯДЕРНОЙ ФИЗИКИ СОАН СССР

ПРЕПРИНТ ИЯФ 77-35

Г.С.Виллевальд, В.Н.Карасюк, Г.И.Сильвестров

ИСПЫТАНИЕ КОНТАКТНЫХ ПАР ПРИ
БОЛЬШИХ ПЛОТНОСТЯХ ИМПУЛЬСНЫХ
ТОКОВ

Новосибирск

1977

ИСПЫТАНИЕ КОНТАКТНЫХ ПАР ПРИ БОЛЬШИХ ПЛОТНОСТЯХ
ИМПУЛЬСНЫХ ТОКОВ

Виллевальд Г.С., Карасюк В.Н., Сильвестров Г.И.

А Н Н О Т А Ц И Я

Описываются результаты экспериментов по исследованию работоспособности контактных пар при предельных плотностях тока (магнитное поле на их поверхности 50 – 150 кЭ) и длительностях импульсов тока, соответствующих скриновым режимам нагрева. Ширина контактных пар 100 мм, испытательный ток 10^6 А, контактное нажатие ~ 1000 кг/см² обеспечивается с помощью гидравлических прижимов. Исследовалось ~ 30 контактных пар из основных конструкционных материалов.

Вопрос выбора контактных пар возникает при конструировании электроаппаратуры с большими плотностями тока. Допустимая величина плотности тока для конкретных материалов определяет минимальные размеры токоподводов в местах их коммутации. Имеется обширная литература по теоретическому и экспериментальному исследованию силноточных контактов (см. библиографию в работе [1]), но ее большая часть касается исследований контактных пар для постоянного или синусоидального тока частотой 50 Гц. В настоящей работе ставилась задача исследования плоских контактных переходов в скиновых режимах, когда толщина токоведущих шин в направлении, перпендикулярном току, в несколько раз больше толщины скин-слоя. В этих случаях максимальная температура нагрева контактных элементов при синусоидальном токе практически не зависит от электросопротивления и длительности импульса тока, а является функцией максимального поля H_0 на их поверхности, плотности γ и уд. теплоемкости материала c , а именно $T^0 = H_0^2 n / \gamma c$, где n - число полупериодов незатухающего тока [2]. С другой стороны, работоспособность контактной пары зависит от соотношения величин скин-слоев, т.е. от отношения величин их уд.электросопротивлений, поскольку вблизи контактной поверхности при перетекании тока увеличивается плотность тока в контактных элементах. По этой же причине происходит значительный перегрев самой контактной поверхности по сравнению с температурой нагрева элементов, т.к. при практически нулевой толщине контакта ток не может растечься до толщины скин-слоя, соответствующего уд.сопротивлению контакта, большему, чем уд.сопротивления элементов.

Целью работы было качественное определение работоспособности контактных пар при больших плотностях тока. Исследовалось 28 контактных пар из основных конструкционных материалов: медь (М1), латунь (ЛС62), бронза (БРХО,5), технический алюминий, сталь (СтЗ), дюраль (Д16Т), а также сплав вольфрама с медью (ВМ-40). Контактные элементы представляют собой пластинки размерами 100x5 мм и толщиной ~ 2 мм. Упрощенная схема контактного узла показана на рисунке. Ток к контактным элементам 1 подводится плоскими шинами 2, подсоединенными к согласующему трансформатору. Контактное накатие обеспечивается с помощью гидравлической камеры высокого давления 3 и силовой скобы 4. Конструкция и технология изготовления камеры, представляющей собой корпус с приваренными к ней мембранны и под-

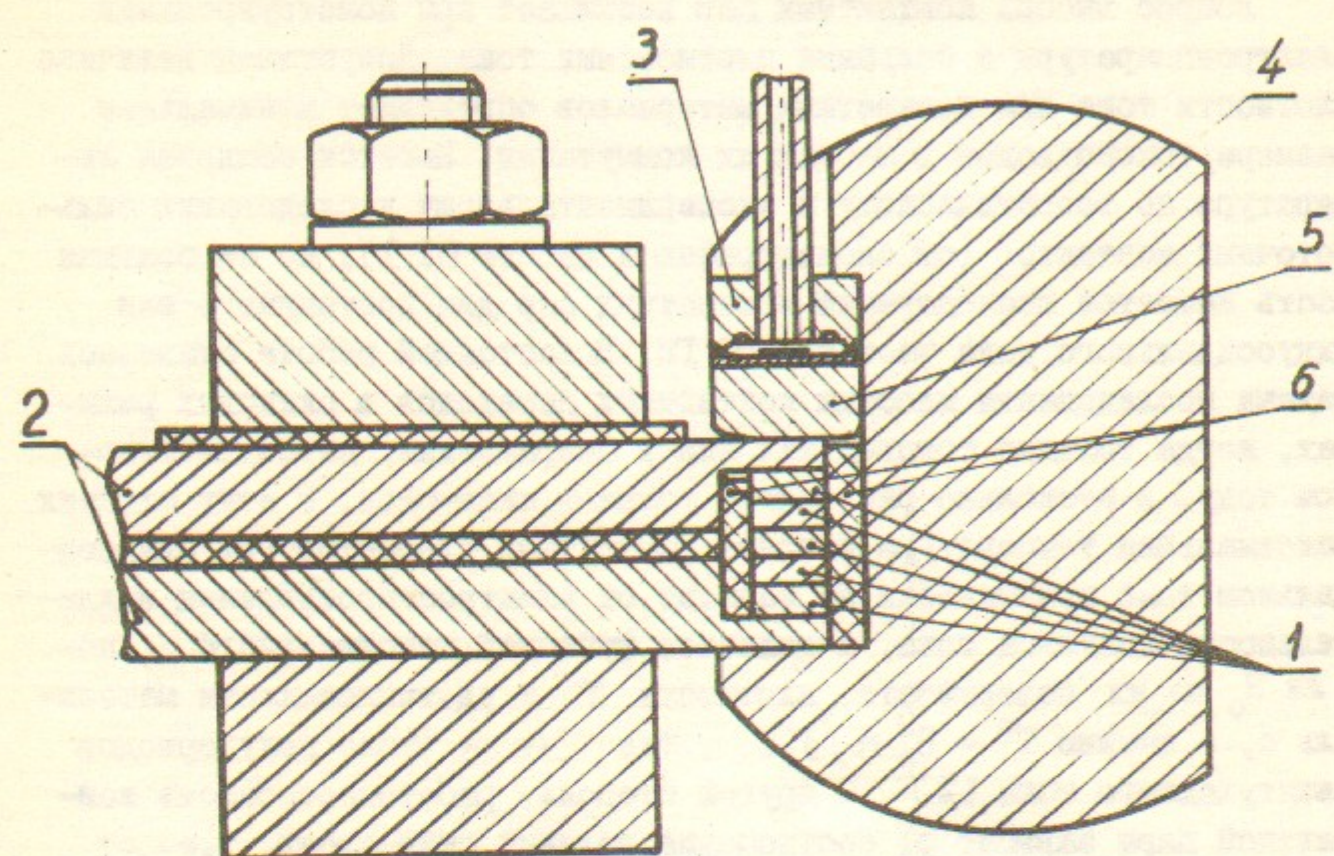


Схема испытаний контактных пар.

1 - контактные элементы, 2 - плоский токоподвод,
3 - гидравлическая камера, 4 - силовая скоба,
5 - подложка, 6 - изоляционные прокладки.

водящей жидкостью трубкой, подробно описана в работе [3].
Все контактные пары испытывались током $I_o \sim 10^6$ А, т.е.

~ 100 кА на сантиметр ширины контактной поверхности, что соответствует магнитному полю $H_o \sim 125$ кЭ. Длительность периода тока $T \sim 230$ мкс, декремент колебаний $\Delta \sim 3,5$. Контактное давление по всей площади контакта ~ 1000 кг/см², что примерно соответствует давлениям, создаваемым в болтовых соединениях.

Работоспособность контактных пар оценивалась визуально после 10 разрядов тока указанных параметров. Каждая пара исследовалась при различных направлениях тока между контактными элементами. Поскольку не было замечено существенной зависимости поведения пар от направления тока, результаты испытаний объединены в общую таблицу, где пары распределены в порядке работоспособности,

Контактные пары	Оценки пар, направление тока		Средняя оценка	Примечания
	→	←		
1 Си-Си	10, 10	10, 10	10	Си-Медь М1,
2 Лат-Лат	10, 10, 10, 9	10, 10, 10, 9	9,8	Лат-ЛС 62,
3 Си-БРХ	10, 10	10, 8	9,5	БРХ-БРХ 0,5,
4 Лат-БРХ	10, 9	9, 10	9,5	Лт-технический
5 БРХ-ВМ	9	9, 9, 9, 9	9	алюминий,
6 Си-Лат	9, 9	8, 9, 9	8,8	ВМ-сплав ВМ-40
7 Ал-Лат	9	9, 8	8,7	Ст-Ст.3
8 Лат-Ст	6, 7	10	7,7	
9 Си-Ст	7, 6, 9, 6	8, 5, 8	7	
10 БРХ-Ст	9, 8	6, 4	6,7	
11 Ал-Ал	6, 7	6, 7	6,5	
12 Ал-Д16Т	6, 8, 7	4	6,3	
13 Ал-БРХ	5	7	6	
14 Ал-ВМ	4	6, 8	6	
15 Д16Т-Д16Т	6, 7, 4	6, 7, 4	5,7	
16 Ст-ВМ	7	4	5,5	
17 Си-Ал	4, 6, 7	4, 4	5	
18 Лат-Д16Т	7, 4	3, 4, 8	5	
19 Ст-Ст	4, 7, 4	4, 7, 4	5	
20 Д16Т-БРХ	6, 3	5, 5, 5	4,8	
21 Си-ВМ	6, 6	4, 3	4,7	
22 Лат-ВМ	2, 5	6, 3, 6	4,4	
23 Д16Т-ВМ	5, 3, 6	6, 2, 3	4,2	
24 Си-Д16Т	4, 3	5	4	
25 Ал-Ст	5, 4, 5	4, 4, 3, 3	4	
26 Д16Т-Ст	4, 4	4	4	
27 БРХ-БРХ	1, 2	1, 2	1,5	
28 ВМ-ВМ	1, 2	1, 2	1,5	

оцененной по десятибалльной системе. Оценка 1 означает сваривание пары практически по всей площади касания, 2 - пара сварилась примерно на толщину скин-слоя, 3 - контрастный след вдоль контактных поверхностей со стороны скин-слоя, местами пара сварились, 4 -то же, но пара без затруднений разъединяется, 5 - сплошной, хорошо видный след шириной порядка минимального скин-слоя пары, 6 - сплошной четкий след в виде линии, 7 - заметный сплошной след в виде линии, 8 - прерывистый слабый след, 9 - редкие точки на контактных поверхностях, 10 - никаких изменений. Из таблицы видно, что более сильное влияние на работоспособность пар оказывает температура нагрева элементов (зависимость от произведения δC), т.е. лучшими являются пары из конструкционных материалов на основе меди, а так же Ст3, для которых в описанных режимах температуры нагрева поверхности равны $55 \div 60^\circ$, в то время как нагрев алюминия и сплава Д16Т $\sim 80^\circ$. В случаях примерно равных температур заметно ухудшение свойств при значительных отношениях толщин их скин-слоев. Повидимому, поэтому пары распределились в порядке: Ст3 - латунь, Ст3 - БРХ, Ст3 - медь, для которых отношения скин-слоев равны 1,3, 2,1 и 2,3 соответственно. Некоторое влияние на работоспособность пар оказывает большое различие в удлинениях элементов при прохождении тока (оно максимально у пар алюминий - Ст3 и Д16Т - Ст3). Сравнительно низкая оценка твердых пар (Ст3 - Ст-3 и ВМ - ВМ) объясняется, повидимому, недостаточным для них контактным нажатием.

Полученные результаты ориентировочно можно использовать и при проектировании аппаратуры на меньшие плотности токов, но в процессе работы которых возможно увеличение контактных сопротивлений (ослабление контактного нажатия, окисление элементов и т.д.), что может привести к локальному повышению плотности тока до предельных величин, а следовательно к рассмотренным выше результатам. С другой стороны, результаты дают возможность искусственно повысить работоспособность контактных пар, например: при необходимости коммутации пар из алюминиевых сплавов и стали целесообразно воспользоваться латунной прокладкой между ними и т.п.

Представленные экспериментальные результаты нельзя считать статистически достоверными из-за небольшого числа измерений на каждой паре (от двух до семи), поэтому действительный ряд оценок

может быть несколько иным (к примеру, положение в таблице пары БРХ-БРХ). Другой недостаток результатов - по таблице невозможно определить предельных плотностей тока для всех пар, тем более при различных требованиях к ресурсу их работы. Экспериментальные результаты при большом числе разрядов имеются лишь для некоторых пар. Пары БРХ - медь и медь - медь отработали без заметных изменений ~ 200000 однополупериодных синусоидальных импульсов длительностью ~ 700 мкс при амплитуде поля на их поверхности ~ 50 кЭ [3] (контактное нажатие ~ 1000 кг/см² обеспечивалось с помощью кольцевых гидравлических контактных прижимов). При том же поле успешно отработали более 200 000 импульсов длительностью 120 мкс пары Лат. - Лат. и Лат. - Д16Т (болтовое соединение шин [2]). На меди в контакте с латунью при поле ~ 150 кЭ после одного импульса тока длительностью ~ 10 мкс [4] можно заметить легкий след латуни со стороны максимальной плотности тока, т.е. такие поля являются предельными в контактных соединениях.

В заключение авторы выражают признательность А.К.Ленькову за помощь в проведении серии экспериментов.

Л и т е р а т у р а

1. Ю.Н.Новиков. Теория и расчет электрических аппаратов. "Энергия", Ленинградское отд., 1970.
2. Г.С.Виллевальд, В.Н.Карасик, Г.И.Сильвестров. Исследование механических характеристик сильноточных параболических линз в режимах динамического нагружения. Препринт Института ядерной физики СО АН СССР, ИЯФ 75-98, 1975, Новосибирск.
3. Г.С.Виллевальд, В.Н.Карасик, Г.И.Сильвестров. Использование гидравлики для создания контактов на мегаамперные токи. Препринт Института ядерной физики СО АН СССР, ИЯФ 77- 16 , 1977, Новосибирск.
4. Г.И.Будкер, Г.С.Виллевальд, В.Н.Карасик, Г.И.Сильвестров. Параболические линзы взрывного действия с полями 0,3 - 1МЭ. Препринт Института ядерной физики СО АН СССР, ИЯФ 76-58, 1976, Новосибирск.

Работа поступила - 8 марта 1977 г.

Ответственный за выпуск - С.Г.ПОПОВ

Подписано к печати 14.2У-1977 г. № 02718

Усл. 0;5 печ.л.; 0;4 учетно-изд.л.

Тираж 170 экз. Бесплатно

Заказ №35.

Отпечатано на ротапринте ИЯФ СО АН СССР